

©1995

# ИССЛЕДОВАНИЕ ТОНКИХ ФЕРРОМАГНИТНЫХ ПЛЕНОК В СТРУКТУРЕ ФЕРРОМАГНЕТИК/ПОЛУПРОВОДНИК МЕТОДОМ ОПТИЧЕСКОЙ ОРИЕНТАЦИИ

*Р.И.Джиоев, Б.П.Захарченя, В.Л.Коренев*

Физико-технический институт им. А.Ф. Иоффе Российской академии наук,  
194021, Санкт-Петербург, Россия  
(Поступила в Редакцию 6 сентября 1995 г.)

Исследовано влияние ферромагнитной пленки никеля, нанесенной на поверхность  $n$ -GaAs ионным распылением, на поляризацию оптически ориентированных электронов в полупроводнике. Показано, что в структуре Ni/GaAs присутствуют два ферромагнетика: сама пленка никеля, ферромагнетизм которой проявляется в измерениях с помощью СКВИДа, а также интерфейс Ni/GaAs, магнитные свойства которого проявляются в экспериментах по оптической ориентации. Проведено исследование эффекта фотоиндуцированного изменения коэрцитивной силы интерфейса. Этот эффект обусловлен воздействием полупроводника на магнитные свойства интерфейса. Предложена физическая модель, в основе которой лежит обменное взаимодействие  $d$ -электронов ферромагнетика с электронами на глубоких центрах полупроводника в области интерфейса.

В последнее время широкое внимание исследователей привлекают гибридные системы ферромагнетик/полупроводник [1,2]. Они перспективны как с научной, так и с практической точки зрения. В работах [3,4] сообщается об обменном связывании ферромагнетиков, разделенных полупроводником в сверхрешетках Fe/Si. Теоретическое исследование обменной связи ферромагнетиков, разделенных немагнитной изолирующей прослойкой, проведено в [5,6]. В [7] обнаружено влияние полупроводника на намагниченность ферромагнитной пленки Fe в системе Fe/GaAs. В работе [8] продемонстрирована возможность изучения взаимосвязи полупроводника и ферромагнетика по поведению оптически ориентированных электронов полупроводника.

В настоящей работе изучено влияние намагниченности тонкой ферромагнитной пленки на средний спин оптически ориентированных электронов в полупроводнике. Эксперименты по оптической ориентации электронов в структуре Ni/GaAs выявили наличие ферромагнетика, коэрцитивная сила которого под действием света уменьшается в 2 раза (от 90 Ое в темноте до 45 Ое на свету). Независимое измерение петли магнитного гистерезиса с помощью СКВИДа показало, что коэрцитивная сила ( $\approx 40$  Ое) не зависит от интенсивности света. Мы полагаем, что в структуре Ni/GaAs присутствуют два различных ферромагнетика: сама пленка никеля, ферромагнетизм которой проявляется в измерениях с помощью СКВИДа, а также интерфейс Ni/GaAs.

магнитные свойства которого проявляются в экспериментах по оптической ориентации. Проведено исследование эффекта фотоиндукционного изменения коэрцитивной силы интерфейса. Этот эффект обусловлен воздействием полупроводника на магнитные свойства интерфейса. Предложена физическая модель, в основе которой лежит обменное взаимодействие  $d$ -электронов в области интерфейса с электронами на глубоких центрах вблизи поверхности полупроводника.

## 1. Методика измерений

Нами исследовался образец Ni/GaAs. GaAs  $n$ -типа (Si:  $2 \cdot 10^{15} \text{ cm}^{-3}$ ) толщиной  $35 \mu\text{m}$  выращен в направлении [001] методом жидкофазной эпитаксии на подложке из арсенида галлия толщиной  $400 \mu\text{m}$ . На поверхности слоя GaAs методом ионного распыления выращена пленка никеля толщиной  $\approx 400 \text{ \AA}$ . В процессе напыления пленки никеля поверхность полупроводника нагревалась до  $T \approx 100^\circ \text{C}$ .

До проведения оптических измерений петля магнитного гистерезиса никелевой пленки на арсениде галлия (рис. 1) была измерена при  $T = 4.3 \text{ K}$  с помощью СКВИДа. Коэрцитивная сила  $H_c \approx 40 \text{ Oe}$ .

Эксперимент по оптической ориентации заключается в генерации поляризованных по спину электронов в полупроводнике при межзонном поглощении циркулярно поляризованного света и исследовании влияния ферромагнетика на их средний спин по изменению степени круговой поляризации рекомбинационного излучения. Эксперимент выполнен при температуре жидкого гелия. Генерация носителей осуществлялась светом, проходящим через никелевую пленку нормально к поверхности образца (рис. 2). В качестве источника возбуждения использовалась линия ( $h\nu = 1.65 \text{ eV}$ ) непрерывного Kr<sup>+</sup>-лазера. Поляризация краевой люминесценции измерялась в максимуме линии, соответствующей рекомбинации экзитона, локализованного на донорной примеси. Описание методики измерения степени  $\rho$  круговой поляризации фотoluminesценции приведено ранее [9]. С целью устранения поляризации ядер кристаллической решетки полупроводника, влияющей на средний спин электронов [10], возбуждение осуществлялось светом знакопеременной (на частоте  $26 \text{ kHz}$ ) циркулярной поляризации ( $\sigma^{\sim}$ ). Для этого был использован фотоупругий модулятор поляризации све-

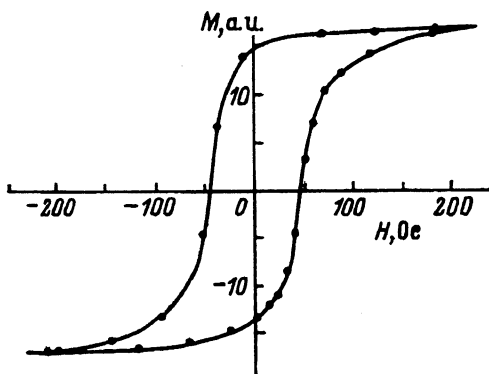


Рис. 1. Петля магнитного гистерезиса образца Ni/GaAs, измеренная с помощью СКВИДа.

$M$  — магнитный момент пленки.

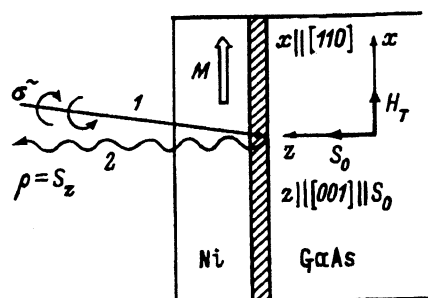


Рис. 2. Геометрия эксперимента по оптической ориентации.  
1 — возбуждение, 2 — люминесценция.

та [11]. Измерялись зависимости  $\rho$  от внешнего магнитного поля, направленного как вдоль луча возбуждающего света (продольное поле  $H_L$ ), так и поперек (поперечное поле  $H_T$  параллельно плоскости пленки).

## 2. Оптическая ориентация электронов в полупроводнике

Ориентированные по спину вдоль возбуждающего луча электроны создаются в полупроводнике при межзонном поглощении циркулярно поляризованного света. Если за время жизни фотовозбужденные носители не утрачивают полностью спиновую ориентацию, то фотолюминесценция будет частично поляризована по кругу. Степень  $\rho$  круговой поляризации фотолюминисценции в GaAs численно равна проекции среднего спина электронов на направление возбуждающего луча (ось  $z$ ) и определяется выражением

$$\rho = S_z = 0.25 \frac{T_s}{\tau}, \quad (1)$$

где  $1/T_s = 1/\tau_s + 1/\tau$ ,  $T_s$  — время существования оптической ориентации,  $\tau$  и  $\tau_s$  — времена жизни и спиновой релаксации электронов соответственно. Множитель 0.25 в (1) определяется правилами отбора для оптических переходов в GaAs [10].

В магнитном поле, поперечном направлению возбуждающего луча, вследствие ларморовой прецессии электронный спин поворачивается, что приводит к уменьшению  $S_z$  и соответственно уменьшению степени круговой поляризации излучения (эффект Ханле). Зависимость  $\rho(H_T)$  описывается лоренцевской кривой [10]

$$\rho(H_T) = \frac{\rho(0)}{1 + (H_T/H_{1/2})^2}, \quad (2)$$

где  $\rho(0)$  — поляризация излучения в нулевом магнитном поле (см. (1)),  $H_{1/2} = \hbar/\mu_B g T_s$  — полуширина кривой магнитной деполяризации (кривая Ханле),  $g$  —  $g$ -фактор электронов в зоне проводимости ( $g = -0.44$  [12]),  $\mu_B$  — магнетон Бора ( $\mu_B > 0$ ).

Здесь следует отметить, что эффект Ханле в GaAs  $n$ -типа в общем случае не описывается выражением (2) вследствие диффузии электронного спина в глубь полупроводника [10]. Избыточные носители создаются в узком приповерхностном слое толщиной  $\approx 1/\alpha_0$  ( $\alpha_0$  — коэффициент поглощения возбуждающего света). При этом диффузионная длина спина электронов  $L_s \gg \alpha_0$ . Однако, как мы покажем в отдельной публикации, в данном образце GaAs имеет место сильное переизлучение, распределющее неравновесные носители в глубь образца на расстояние большее  $L_s$ , т.е. концентрацию дырок можно считать постоянной в области существования неравновесного спина электронов. Поскольку коэффициент поглощения на длине волн регистрации мал, то детектируется излучение из области, размер которой превышает величину  $L_s$ . В этом случае эффект Ханле описывается лоренцевой кривой [9]. Формулы (1), (2) могут быть получены в результате решения уравнения для среднего спина  $S$  электронов [10]

$$S = S_0 + H_T \times S/H_{1/2}, \quad (3)$$

где  $S_0 = 0.25T_s/\tau$ .

### 3. Влияние ферромагнетика на оптическую ориентацию электронов полупроводника

На рис. 3 приведены результаты измерения деполяризации фотoluminesценции в поперечном магнитном поле (эффект Ханле). Экспериментальные точки, по которым проведена кривая 1, получены после предварительного размагничивания образца Ni/GaAs поперечным магнитным полем методом «переменного размагничивания» [13]. Кривая 2 получена после предварительного намагничивания ферромагнетика в плоскости пленки в поле  $H = 400$  Ое (поле  $H_T$  параллельно намагничающему полю  $H$ ).

Полученные результаты указывают на то, что при размагничивании никеля включается дополнительный канал спиновой релаксации электронов полупроводника, который приводит к уменьшению степени  $\rho$  и уширению кривых магнитной деполяризации [8]. Дополнительная спиновая релаксация электронов в GaAs вызвана прецессией электронного спина во флуктуирующих в пространстве магнитных полях, обусловленных доменной структурой размагниченного ферромагнетика. Количественное рассмотрение вопроса о спиновой релаксации электронов во флуктуирующем (с характерным масштабом  $\delta$ ) в пространстве магнитном поле существенно зависит от соотношения между  $\delta$  и длиной  $L_s$  диффузии электронного спина. Характерный масштаб флуктуаций магнитного поля определяется размером доменов  $\delta$ , причем магнитное поле доменов затухает в глубь полупроводника на расстоянии порядка  $\delta$ . Далее мы увидим, что здесь реализуется случай  $\delta > L_s$ . Действительно, в этом случае электронный спин прецессирует в локальном поле  $H_T + H_\delta(r)$ , где  $H_\delta(r)$  — медленно изменяющееся в пространстве магнитное поле доменов. Эта прецессия приводит к локальному изменению проекции среднего спина на направление луча. На эксперименте измеряется степень поляризации излучения, которая есть результат усреднения локальных эффектов Ханле по широкой области засветки. Усредненный эффект Ханле в неоднородном магнитном поле будет описываться кривой большей ширины, характеризующейся меньшим значением поляризации, чем при  $H_\delta = 0$ , т.е. когда ферромагнетик намагнчен. Для количественного описания эффекта уменьшения поляризации излучения при размагничивании пленки необходимо знать явный вид распределения поля  $H_\delta(r)$  в пространстве.

Мы воспользуемся упрощенной моделью, согласно которой поле  $H_\delta(r)$  заданной величины  $H_\delta$  случайно ориентировано во всех трех направлениях, т.е. изотропно. Поскольку случайное магнитное поле медленно изменяется в пространстве, то результирующий эффект Ханле получается подстановкой суммарного поля  $H_T + H_\delta(r)$  в (3) и усреднением  $S_z(H_T, H_\delta(r))$  по углам

$$\rho(H_T) = \int \frac{d\Omega}{4\pi} S_z(H_T, H_\delta(r)). \quad (4)$$

Результаты расчета по формуле (4) показаны на рис. 3 сплошными линиями. Кривая 2 построена для случая  $H_\delta = 0$ , т.е. пленка намагнечена. Кривая 1 проведена при  $H_\delta = 2$  Ое. Наблюдается хорошее согласие данной модели с экспериментом.

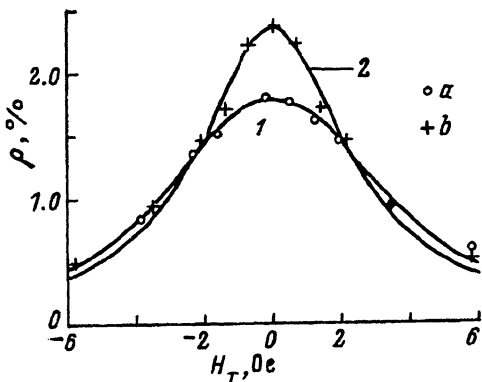


Рис. 3. Кривые магнитной деполяризации фотолюминисценции в поперечном магнитном поле.

*a* — образец размагничен, *b* — образец намагнчен в поле  $H = 400$  Ое. Сплошные линии — результат расчета по формуле (4);  $H_5$  (Ое): 1 — 2, 2 — 0.

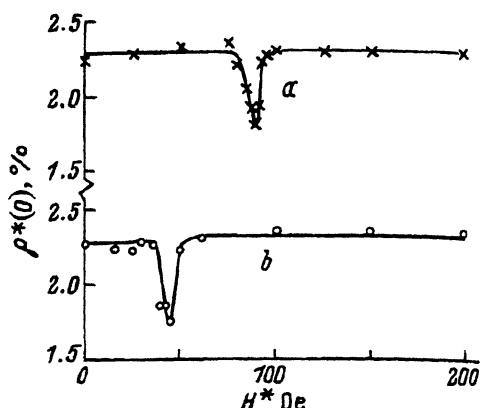


Рис. 4. Зависимость степени  $\rho^*(0)$  циркулярной поляризации люминесценции в нулевом магнитном поле от величины перемагничивающего поля  $H^*$ .

Кривая *a* — при перемагничивании пленки свет перекрывался, кривая *b* — перемагничивание осуществлялось при освещении образца светом  $Kr^+$ -лазера  $h\nu = 1.65$  еВ интенсивностью  $J = 5$  Вт/см<sup>2</sup>.

Дополнительным свидетельством наличия спиновой релаксации электронов в медленно изменяющемся в пространстве магнитном поле доменов является поведение  $\rho$  под действием внешнего магнитного поля, параллельного лазерному лучу (продольное поле  $H_L$ ). Как известно [10], продольное поле стабилизирует оптическую ориентацию, поскольку препятствует отклонению электронного спина от начально-го направления. Тогда уже в полях  $H_L > H_5 = 2$  Ое прецессия электронов в случайном поле подавляется и степень  $\rho(H_L)$  должна подняться до уровня, соответствующего  $H_5 = 0$  (ферромагнетик намагнчен). Именно такое поведение  $\rho(H_L)$  наблюдается на эксперименте.

Таким образом, поляризованные по спину электроны полупроводника являются, по существу, детектором намагнченности ферромагнетика.

Коэрцитивную силу пленки можно определить, исследуя процесс перемагничивания ферромагнетика внешним полем. В этом случае измеряется зависимость степени поляризации люминесценции в нулевом внешнем поле  $\rho^*(0)$  от перемагничивающего поля  $H^*$ , определяющего величину остаточной намагнченности. Такая зависимость показана на рис. 4, *a*. Экспериментальные точки на рис. 4, *a* получены следующим образом. Образец намагничивался во внешнем поле  $H = -400$  Ое, направленном параллельно плоскости пленки. Затем намагничивающее поле уменьшалось до нуля и устанавливалось поперечное перемагничивающее поле  $H^*$  заданной величины, направленное противоположно намагничивающему полю. После этого перемагничивающее поле тоже выключалось и измерялась степень  $\rho^*(0)$  круговой поляризации люминесценции, соответствующая остаточной намагнченности пленки после воздействия на нее внешнего поля  $H^*$ . Далее вышеописанная процедура повторялась для каждого значения поля  $H^*$ . При

смене знака намагничающего поля  $H$  и соответственно знака поля  $H^*$  кривая на рис. 4,а зеркально отражается относительно оси ординат. Она получена в условиях, когда перемагничивание пленки полем  $H^*$  осуществлялось после выключения возбуждающего света, который затем включался для измерения степени  $\rho^*(0)$  в нулевом магнитном поле. Из рис. 4,а видно, что имеется острый минимум в области полей  $H^* = 90$  Ое, где значение  $\rho^*(0)$  соответствует размагнченному состоянию, т.е. коэрцитивное поле  $h_c = 90$  Ое. При этом кривая Ханле, снятая после перемагничивания в поле, равном коэрцитивному, полностью совпадает с кривой 1 на рис. 3. В свою очередь кривые Ханле, измеренные при  $H^* > 95$  Ое и  $H^* < 85$  Ое, совпадают с кривой 2 на рис. 3. Это соответствует намагнченному состоянию ферромагнитной пленки.

Определенная из оптических измерений коэрцитивная сила ( $h_c = 90$  Ое) более чем в 2 раза превышает величину коэрцитивной силы, измеренную с помощью СКВИДа (рис. 1,  $H_c = 40$  Ое). Здесь следует указать на принципиальную разницу между измерениями с помощью СКВИДа и оптическими измерениями. Она заключается в том, что СКВИД регистрирует магнитный момент всего образца, который включает в себя магнитный момент самой пленки никеля и интерфейской области Ni/GaAs (диамагнитный вклад от арсенида галлия в данном образце пренебрежимо мал). Тогда, если толщина пленки никеля гораздо больше толщины пограничной области Ni/GaAs, в измерениях с помощью СКВИДа будет проявляться лишь намагнченность никелевой пленки. С другой стороны, при оптическом детектировании намагнченности вклады от пленки никеля и интерфейса в общем случае не аддитивны, и намагнченность интерфейской области может проявиться в экспериментах по оптической ориентации.

Мы полагаем, что петля гистерезиса, измеренная СКВИДом, обусловлена намагнченностью самой пленки никеля. Гистерезис же, проявляющийся в экспериментах по оптической ориентации, обусловлен ферромагнетизмом интерфейса Ni/GaAs. Известно, что при  $T \geq 100^\circ\text{C}$  происходит диффузия Ni в GaAs и образуется тонкий ( $\sim 100$  Å) промежуточный слой [14]. Этот слой может быть ферромагнитным и образовать то, что мы понимаем под словом «интерфейс». В размагнченном состоянии интерфейсный слой разбивается на домены, магнитные поля которых существенно превышают среднее его поле и могут вызвать спиновую релаксацию электронов полупроводника. Зная величину флуктуирующего поля ( $H_\delta = 2$  Ое определено в настоящем разделе), можно оценить размер домена интерфейсной области  $\delta$  по формуле  $H_\delta = 4\pi m_i d / \delta$ , где  $m_i$  — намагнченность насыщения интерфейса,  $d$  — его толщина. Поскольку магнитные характеристики переходного слоя неизвестны, положим  $m_i = 510$  Ое (такой же как и намагнченность насыщения  $M_s(T = 0\text{ K})$  никеля [15]),  $d = 40$  Å и получим  $\delta = 13\text{ }\mu\text{m}$ , что превышает величину  $L_s = 10\text{ }\mu\text{m}$  в согласии с моделью плавно изменяющихся в пространстве случайных магнитных полей.

Особого рассмотрения требует вопрос о спиновой релаксации электронов полупроводника в случайных магнитных полях, обусловленных доменной структурой самой пленки никеля. В данном образце спиновая релаксация на доменах никеля пренебрежимо мала. Однако, как

показывают измерения на СКВИДе, отношение  $M_r/M_s \approx 0.8$ ; следовательно, даже в состоянии с максимальной остаточной намагниченностью  $M_r$  пленка обладает доменной структурой. Это значит, что имеются случайные магнитные поля, которые должны приводить к спиновой релаксации электронов. Однако если размер доменов пленки  $\Delta \ll L_s$ , то электронный спин в полупроводнике релаксирует лишь в узкой приповерхностной области  $\sim \Delta$ , в то время как основная масса поляризованных электронов распределена в глубь полупроводника на расстояние  $\sim L_s$ , где магнитное поле доменов отсутствует. Более того, если характерный период прецессии спина в случайном поле доменов превышает время диффузионного пролета электронным спином области размером  $\sim \Delta$ , то имеет место динамическое усреднение случайных полей (аналог динамического сужения линии в магнитном резонансе). Оба этих обстоятельства должны приводить к подавлению спиновой релаксации электронов полупроводника, если размер доменов достаточно мал. В данном образце  $L_s \approx 10 \mu\text{m}$ ; следовательно, отсутствие спиновой релаксации на доменах пленки никеля можно объяснить, если  $\Delta \ll 10 \mu\text{m}$ .

Отметим, что при намагничивании как никелевой пленки, так и интерфейса сдвиг кривой Ханле практически незаметен. Действительно, оценка регулярного поля от пленки никеля дает  $H_m = 0.05 \text{ Ое}$ . Поскольку полуширина кривой Ханле составляет  $\approx 2.0 \text{ Ое}$ , смещение в  $0.05 \text{ Ое}$  незаметно.

Кроме различия в значениях коэрцитивных полей, измеренных в отсутствие освещения, имеется еще одно существенное отличие магнитных свойств интерфейса и пленки никеля. Как показали измерения, освещение образца Ni/GaAs приводит к сильному уменьшению коэрцитивной силы интерфейса и практически не влияет на коэрцитивную силу пленки никеля в широком диапазоне интенсивностей света. Далее (раздел 4) мы рассмотрим более подробно эффект фотоиндукционного изменения коэрцитивной силы интерфейса. Будет показано, что этот эффект обусловлен воздействием полупроводника на ферромагнетик.

#### 4. Фотоиндукционное изменение коэрцитивной силы $h_c$ интерфейса

В работе [8] на аналогичном образце было обнаружено изменение коэрцитивной силы  $h_c$  под действием света. Перемагничивание пленки в темноте приводило к трехкратному увеличению  $h_c$  по сравнению с перемагничиванием на свету интенсивностью  $5 \text{ W/cm}^2$ . Эффект носит локальный характер, т.е. имеет место лишь в области засветки. Это явление наблюдается и в данном образце. На рис. 4,б приведены зависимости  $\rho^*(0)$  от величины перемагничивающего поля  $H^*$ . В этом эксперименте перемагничивание осуществлялось при освещении образца лазером  $h\nu = 1.65 \text{ eV}$ , интенсивностью  $J = 5 \text{ W/cm}^2$ . Из сравнения кривых на рис. 4,а (перемагничивание в темноте) и рис. 4,б (перемагничивание на свету) видно, что коэрцитивная сила  $h_c$  отличается в 2 раза. Нами измерена зависимость коэрцитивной силы  $h_c$  от интенсивности света, при котором осуществлялось перемагничивание образца. При этом как намагничивание в поле  $400 \text{ Ое}$ , так и

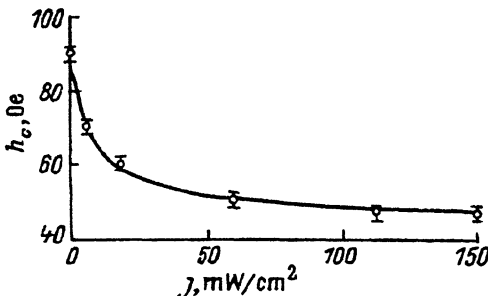


Рис. 5. Зависимость коэрцитивной силы интерфейса от интенсивности света ( $\hbar\nu = 1.96 \text{ eV}$ ), падающего на образец во время перемагничивания.

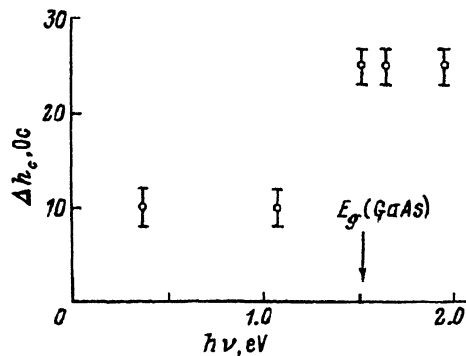


Рис. 6. Спектральная зависимость фотоиндуцированного изменения коэрцитивной силы интерфейса.  $J = 9 \text{ mW/cm}^2$ ,  $P = 1.5 \text{ mW}$ .

измерение  $\rho^*(0)$  осуществлялось всегда в одних и тех же условиях, а именно при освещении образца Kr<sup>+</sup>-лазером ( $\hbar\nu = 1.65 \text{ eV}$ ) интенсивностью  $5 \text{ W/cm}^2$  (диаметр светового пятна  $\approx 300 \mu\text{m}$ ). Перемагничивание осуществлялось при засветке всей поверхности образца ( $0.4 \times 0.4 \text{ cm}^2$ ) He-Ne-лазером ( $\hbar\nu = 1.96 \text{ eV}$ ). Результаты приведены на рис. 5. Интересно отметить, что фотоиндуцированное изменение  $h_c$  становится заметным уже при очень малых световых потоках  $\approx 5 \text{ mW/cm}^2$ . Этот факт указывает на то, что зависимость  $h_c(J)$  может быть обусловлена воздействием полупроводника на магнитные свойства интерфейса. Для проверки этого утверждения мы сняли спектральную зависимость фотоиндуцированного изменения  $h_c$ . Перемагничивание осуществлялось при засветке всей поверхности образца светом  $J = 9 \text{ mW/cm}^2$ , и измерялась зависимость  $h_c$  от энергии светового кванта. Если зависимость  $h_c(J)$  есть результат воздействия полупроводника на интерфейс, то при энергии кванта  $\hbar\nu$  меньше ширины запрещенной зоны GaAs ( $\hbar\nu < E_g = 1.52 \text{ eV}$ ) эффект фотоиндуцированного изменения коэрцитивной силы  $\Delta h_c = h_{cd} - h_c(\hbar\nu)$  должен существенно уменьшиться ( $h_{cd} = 90 \text{ Oe}$  — «темновое» значение коэрцитивной силы). На рис. 6 приведена спектральная зависимость  $\Delta h_c$ . При этом видно, что фотоиндуцированное изменение  $\Delta h_c$  значительно ослабляется при  $\hbar\nu < E_g$ . Таким образом, данный результат показывает, что эффект в основном обусловлен фотовозбуждением полупроводника и связан с его воздействием на ферромагнетик (отметим, что, как показали наши измерения, пропускание самой пленки никеля не зависит от энергии кванта в данном спектральном диапазоне).

Ниже будут перечислены, а затем подробно рассмотрены три возможные причины изменения  $h_c$ , которые обусловлены влиянием полупроводника на ферромагнетик. Во-первых, возможен нагрев полупроводника поглощаемым в нем светом, что в свою очередь может привести к разогреву интерфейса и уменьшению его коэрцитивной силы. Во-вторых, возможен эффект (названный нами магнитоэзомагнитическим), который представляет собой совместное действие магнитострикции ферромагнетика и фотоиндуцированного пьезоэлектрическо-

го эффекта, возникающего вследствие выпрямления изгиба зон вблизи поверхности полупроводника под действием света. И в заключение настоящего раздела мы обсудим еще один механизм фотоиндуцированного изменения  $h_c$ , который в данном случае представляется нам наиболее вероятным и позволяет понять все основные результаты. Он обусловлен обменным взаимодействием электронов, захваченных на глубокие центры вблизи поверхности полупроводника, с  $d$ -электронами ферромагнетика. Фотовозбуждение полупроводника приведет к изменению концентрации электронов на глубоких центрах и, следовательно, изменит силу обменного связывания ферромагнетика с полупроводником. Это в свою очередь может привести к фотоиндуцированному изменению коэрцитивной силы. Обсудим теперь более подробно указанные выше причины.

а) Роль перегрева образца. Для проверки влияния перегрева GaAs, был проведен эксперимент, в котором разогрев образца осуществлялся электрическим током через контакты Ni/GaAs-Au. Ток пропускался через точечный прижимной контакт к никелю (площадь контакта  $0.01\text{ cm}^2$ ). Контакт GaAs-Au осуществлялся путем напыления золота и последующего вжигания еще до нанесения никелевой пленки. При протекании тока через образец все напряжение падает на обедненном слое вблизи границы Ni/GaAs размером  $\approx 1\text{ }\mu\text{m}$ , поэтому вся мощность рассеивается в узкой приповерхностной области. Перемагничивание осуществлялось в темноте при протекании тока через образец как в прямом, так и в обратном направлении. Измерялась коэрцитивная сила  $h_c$  по методике, описанной выше, в зависимости от мощности  $P$ , выделяемой вблизи контакта Ni/GaAs. Обнаружено, что вплоть до значения  $P = 60\text{ mW}$   $h_c$  не зависит от  $P$  и имеет «темновое» значение  $h_{cd} = 90\text{ Oe}$ . В то же время, как следует из рис. 6 коэрцитивная сила существенно изменяется, если в GaAs поглощается всего лишь  $1.5\text{ mW}$  световой мощности. По этой причине мы исключаем роль перегрева образца светом.

б) Магнитопьезоэлектрический эффект. Рассмотрим более подробно природу магнитопьезоэлектрического эффекта. Как известно [16], вблизи поверхности полупроводника существует электрическое поле, возникающее вследствие захвата носителей заряда на поверхностные состояния. Например, в  $n$ -GaAs вблизи поверхности имеется обедненная область, в которой зоны изогнуты вверх и поверхность заряжена отрицательно. При поглощении света в полупроводнике электрическое поле уменьшается и на поверхности GaAs вследствие пьезоэффекта изменяется деформация. Если при этом на полупроводник нанесена ферромагнитная пленка, которая плотно сцепляется с полупроводником, то деформация последнего приведет к такой же деформации пленки. Тогда из-за магнитострикции в ферромагнетике возникает магнитная анизотропия тем большая, чем больше изменение электрического поля в полупроводнике. Такой эффект можно назвать магнитопьезоэлектрическим, поскольку он существенно связан с пьезоэлектрическими свойствами полупроводника и магнитоупругими свойствами ферромагнетика. Данный эффект может привести и к изменению коэрцитивной силы пленки. Действительно, вследствие флуктуации концентрации заряженных поверхностных состояний электрическое поле изменяется в пространстве. Это может

привести к возникновению потенциального рельефа, задерживающего движение доменных границ. Для построения феноменологической теории явления фотоиндуцированного изменения  $h_c$  мы примем упрощенную модель, согласно которой константу  $K$  анизотропии ферромагнетика представим в виде

$$K(x) = K_0 + K_1 \cos(2\pi x/t), \quad (5)$$

где  $K_1$  — изменение константы  $K_0$  магнитной анизотропии пленки вследствие магнитопьезоэлектрического эффекта (предполагается, что  $K_1 \ll K_0$ ). Наличие осциллирующего множителя в (5) отражает флуктуации с характерным масштабом  $t$  концентрации дефектов на поверхности полупроводника (для простоты ограничиваемся случаем одного измерения). Энергия  $\gamma$  на единицу поверхности доменной границы с точностью до численного множителя порядка единицы определяется выражением [13]

$$\gamma(x) = \sqrt{AK(x)} \quad (6)$$

где  $A$  — коэффициент обменной жесткости ферромагнетика. Строго говоря, при написании (6) следует учесть также возможное изменение магнитостатической энергии, возникающее при повороте спинов в доменных стенах. Учет этого эффекта приведет к перенормировке константы  $K_0$  [13]. Коэрцитивную силу  $h_c$  можно определить из условия равенства давления, оказываемого на стенку со стороны магнитного поля  $H = h_c$  и максимальной возвращающей силы, действующей на стенку вследствие флуктуаций  $\gamma(x)$  [13]. Для случая  $180^\circ$  границ при  $H \parallel M$  имеем

$$2Mh_c = \frac{\partial \gamma}{\partial x} \Big|_{max}. \quad (7)$$

Подставляя (5) и (6) в (7), получим

$$h_c = \frac{\pi K_1 w}{2Mt}, \quad (8)$$

где  $w = \sqrt{A/K_0}$  имеет смысл толщины доменной стенки. Если характерный масштаб  $t$  флуктуаций концентрации дефектов меньше толщины доменной стенки ( $t \ll w$ ), то их влияние внутри стенки усредняется, что должно приводить к уменьшению  $h_c$ . Следовательно, максимальное значение поля  $h_c$  достигается при  $w \approx t$ , и наибольшее значение коэрцитивной силы дается выражением

$$h_c = \frac{\pi K_1}{2M}. \quad (9)$$

Полное выражение для коэрцитивной силы в рассматриваемой модели имеет вид

$$h_c = h_0 + \frac{\pi K_1}{2M}, \quad (10)$$

где поле  $h_0$  введено феноменологически для учета других причин подавления движения доменной границы (дислокации, внутренние напряжения и т.д.). Второе слагаемое в (10) отвечает за фотоиндуцированное изменение коэрцитивной силы.

Теперь задача сводится к нахождению связи константы  $K_1$  с пьезоэлектрическими свойствами полупроводника и магнитоупругими свойствами ферромагнетика. Для этого необходимо конкретизировать модель. Мы будем считать, что полупроводник кубической симметрии без центра инверсии находится в контакте с пленкой ферромагнитного металла кубической симметрии, причем их главные оси совпадают. В качестве оси  $z$  выберем нормаль к плоскости контакта ( $z \parallel [001]$ ). В этом случае электрическое поле в обедненной области полупроводника параллельно оси  $z$ . Изменение электрического поля на величину  $F_z$  сопровождается возникновением деформации  $e_{xy} = \eta_{xyz}F_z$ . Здесь  $e_{xy}$  — компонента тензора деформации,  $\eta \equiv \eta_{xyz}$  — пьезоэлектрическая константа. Предполагая, что в пленке ферромагнетика возникает деформация той же величины, что и в полупроводнике, получаем выражение для изменения магнитоупругой энергии пленки

$$\varepsilon = B_2 e_{xy} m_x m_y = \eta B_2 F_z m_x m_y, \quad (11)$$

где  $B_2$  — константа, характеризующая величину магнитострикции ферромагнетика,  $m_x, m_y$  — проекции единичного вектора намагченности на оси [100] и [010] соответственно (вследствие влияния размагничивающих полей намагченность параллельна плоскости пленки). Выражение (11) можно переписать в виде

$$\varepsilon = K_1 m_x m_y = K_1 ((\mathbf{m} \cdot \mathbf{n})^2 - 1/2), \quad (12)$$

где  $K_1 = \eta B_2 F_z$  — константа магнитной анизотропии, наведенной магнитошзоэлектрическим эффектом,  $\mathbf{n}$  — единичный вектор вдоль [110]. Отметим, что в отличие от случая кубического кристалла выражение содержит билинейную комбинацию компонент вектора  $\mathbf{m}$ . Это связано с пониженной симметрией границы ферромагнетик/полупроводник. Подставляя значение  $K_1$  в (10) получим

$$h_c = h_0 + \frac{\pi \eta B_2 F_z}{2M}. \quad (13)$$

Из (13) следует, что изменением электрического поля в полупроводнике можно управлять шириной петли гистерезиса ферромагнитной пленки. Оценим величину эффекта для структуры Ni/GaAs, воспользовавшись значением  $M = 510$  Ое, а также  $\eta = 2.7 \cdot 10^{-10}$  см/V [17],  $F_z = 3 \cdot 10^4$  В/см. Зная упругую константу  $C_{44}$  и константу  $\lambda_{111}$  магнитострикции никеля, можно оценить величину  $B_2$  по формуле  $B_2 = -3C_{44}\lambda_{111} \approx 10^8$  erg/cm<sup>2</sup>. Тогда получим, что для образца Ni/GaAs изменение коэрцитивной силы  $\Delta h_c = h_c - h_0 \approx 3$  Ое, т.е. невелико. Этот эффект не был обнаружен нами экспериментально. Однако следует отметить, что, во-первых, имеются полупроводники (типа A<sub>2</sub>B<sub>6</sub>) с более сильными пьезоэлектрическими свойствами, чем GaAs; во-вторых, существуют ферромагнитные материалы с гигантской магнитострикцией. Экспериментальное наблюдение магнитошзоэлектрического эффекта могло бы иметь значение с точки зрения практических приложений.

с) Влияние обменного связывания электронов полуроводника и ферромагнетика на коэрцитивную силу. Здесь мы рассмотрим влияние обменного взаимодействия электронов на глубоких центрах вблизи поверхности полупроводника с электронами ферромагнетика на коэрцитивную силу  $h_c$ . Без освещения поверхностные состояния  $n$ -GaAs заполнены электронами, т.е. поверхность заряжена отрицательно. Обменное взаимодействие электронов на глубоких уровнях с  $d$  — электронами ферромагнетика может привести к изменению коэффициента  $A$  обменной жесткости ферромагнетика и, следовательно, изменению энергии  $\gamma$  доменной стенки. Флуктуации концентрации глубоких дефектов вызывают флуктуации  $A$  и  $\gamma$ . В результате образуется потенциальный рельеф, препятствующий свободному продвижению доменных границ, и коэрцитивная сила повышается. При освещении полупроводника светом  $h\nu > E_g$  фотовозбужденные дырки притягиваются к поверхности, а электроны уходят в глубь полупроводника. Рекомбинация дырок вблизи поверхности с электронами на глубоких центрах приводит к опустошению дефектов, уменьшению обменной связи полупроводника и ферромагнетика и слаживанию потенциального рельефа, что в свою очередь вызывает уменьшение коэрцитивной силы. При энергии кванта света  $h\nu < E_g$  генерации носителей заряда не происходит и эффект фотоиндуцированного изменения  $h_c$  должен уменьшиться, хотя в общем случае и не до нуля. Это связано с тем, что даже при  $h\nu < E_g$  глубокие центры могут перезаряжаться как в результате непосредственного возбуждения светом, так и за счет внутреннего фотоэффекта. Перечисленные выше утверждения качественно согласуются с результатами эксперимента (рис. 6). Рассчитать изменение  $h_c$  можно аналогично тому, как это сделано в разделе 4b, если представить коэффициент  $A$ , характеризующий величину обменного взаимодействия в ферромагнетике, в виде

$$A(x) = A_0 + A_1 \cos(2\pi x/t), \quad (14)$$

где  $A_0$  — коэффициент обменной жесткости в отсутствие электронов на глубоких центрах,  $A_1$  характеризует его изменение в результате обменного взаимодействия со спинами электронов, захваченных на глубоких дефектах ( $A_1$  пропорционален числу электронов на дефектах). Тогда, поступая аналогично разделу 4b, получим для коэрцитивной силы выражение

$$h_c = h_0 + \frac{\pi A_1 K_0}{2 M A_0}. \quad (15)$$

Здесь второе слагаемое описывает вклад обменного связывания полупроводника с ферромагнетиком. Оно же ответственно и за фотоиндуцированное изменение коэрцитивной силы интерфейса. Поскольку характеристики переходного слоя неизвестны, оценим величину  $A_1$ , воспользовавшись данными для никеля при  $T = 0$  К:  $M = 510$  Ое,  $K = 10^6$  erg/cm<sup>3</sup> [15]. Фотоиндуцированное изменение  $h_c$ , равное 45 Ое, возьмем из наших измерений. Тогда получим  $A_1 = 10^{-2} A_0$ , т.е. на два порядка ниже коэффициента обменной жесткости интерфейса ( $A_0$ ) в отсутствие его взаимодействия с полупроводником.

Таким образом, данная модель позволяет качественно описать основные результаты наших экспериментов и оценить изменение коэффициента обменной жесткости ферромагнетика вследствие обменного связывания ферромагнетика с полупроводником.

Оптическая регистрация поляризации электронов в полупроводнике позволяет исследовать магнитные свойства переходного слоя структуры ферромагнетик/полупроводник. Проведенные исследования показали, что интерфейс структуры Ni/GaAs обладает ферромагнитными свойствами. Обнаружено фотоиндуцированное изменение коэрцитивной силы переходного слоя Ni/GaAs, обусловленное влиянием полупроводника на ферромагнетик. Предложена физическая модель, в основе которой лежит обменное взаимодействие электронов ферромагнитного слоя с электронами на глубоких центрах вблизи поверхности полупроводника. Эффект имеет локальный характер и может представлять интерес в области оптической записи и считывания информации.

Авторы глубоко признательны профессорам Р.Лайхо, Л.С.Власенко и доктору Э.Лахдеранта за проведение измерений на СКВИДе в Физической лаборатории Вихури (Финляндия), П.А. Иванову за выращивание пленок никеля на GaAs, Т.Макаровой за измерение толщины пленок никеля, профессорам И.А.Меркулову, В.И.Перелю и Э.В.Сонину за обсуждения, М.Н.Степановой за предоставление кристаллов GaAs.

Выполнение данной работы стало возможным благодаря гранту N JJK 100 от Международного научного фонда и Российского правительства и финансированию Российским фондом фундаментальных исследований, проект № 93-02-2603. Работа В.Л.К. поддержана стипендией INTAS Grant N 93-2492 и выполнена в рамках исследовательской программы Международного центра фундаментальной физики в Москве.

### Список литературы

- [1] Prinz G.A. *Science* **250**, 1092 (1990).
- [2] Shi J., Kikkawa J.M., Proksch R., Schaeffer T., Awschalom D.D. Medeiros-Ribeiro G., Petroff P.M. *Nature*. In press.
- [3] Briner B., Landolt M. *Phys. Rev. Lett.* **73**, 2, 340 (1994).
- [4] Inomata K., Yusu K., Saito Y. *Phys. Rev. Lett.* **74**, 10, 1863 (1995).
- [5] Slonczewski J.C. *Phys. Rev. B* **39**, 10, 6995 (1989).
- [6] Bruno P. J. *Appl. Phys.* **76**, 10, 6972 (1994).
- [7] Krebs J.J., Jonker B.T., Prinz G.A. *J. Appl. Phys.* **61**, 7, 2596 (1987).
- [8] Джоев Р.И., Захарченя Б.П., Иванов П.А., Коренев В.Л. Письма в ЖЭТФ **60**, 9, 650 (1994).
- [9] Джоев Р.И., Захарченя Б.П., Кавокин К.В., Пак П.Е. *ФТТ* **38**, 9, 2752 (1994).
- [10] Оптическая ориентация. Современные проблемы науки о конденсированных средах / Под ред. Б.П. Захарчени и Ф. Майера. Л. (1989).
- [11] Jasperson S.N., Schnatterly S.E. *Rev. Sci. Instrum.* **40**, 761 (1969).
- [12] Weisbuch C., Hermann C. *Phys. Rev. B* **15**, 3, 816 (1977).
- [13] Тикадзуми С. Физика ферромагнетизма: Пер. с япон. / Под ред. Р.В. Писарева. М. (1987).
- [14] Lahav A., Eizenberg M., Komem Y. *J. Appl. Phys.* **60**, 3, 991 (1986).
- [15] Бозорт Р. Ферромагнетизм: Пер. с англ. / Под ред. Е.И. Кондорского и Б.Г. Лившица. М. (1956).
- [16] Зи С. Физика полупроводниковых приборов: Пер. с англ. / Под ред. Р.А. Суриса. М. (1984).
- [17] Акустические кристаллы / Под ред. М.П. Шаскольской. М. (1982).